



Do plano-s para o...

Análise de Estabilidade

Análise de Erro em...

Lugar das Raízes

Resposta em...

Homepage

Página de Rosto



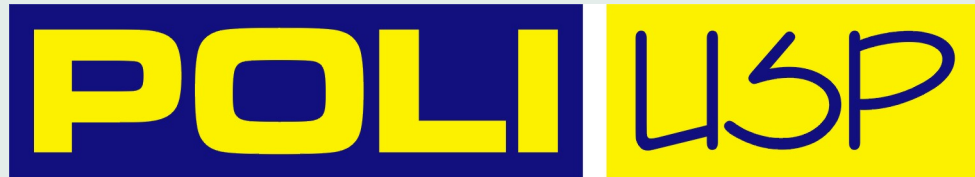
Página 1 de 34

Voltar

Full Screen

Fechar

Desistir



PTC5611 - Controle Digital de Sistemas Dinâmicos

Cap. 7: Análise de Sistemas de Controle Digitais

Prof. Bruno Augusto Angélico

2021



Capítulo 7 - Análise de Sistemas de Controle Digitais

Sistemas de controle digitais serão analisados neste capítulo. Tal análise servirá como base para o projeto de controladores diretamente no plano- z .

Do plano-s para o...

Análise de Estabilidade

Análise de Erro em...

Lugar das Raízes

Resposta em...

Homepage

Página de Rosto



Página 2 de 34

Voltar

Full Screen

Fechar

Desistir



1. Do plano- s para o plano- z

No Capítulo 3 as seguintes relações entre o plano- s e o plano- z foram demonstradas:

- o semiplano da esquerda do plano- s é mapeado no interior do círculo unitário no plano- z ;
- linhas verticais no plano- s com $\zeta\omega_n$ constante, que estão relacionadas com o tempo de assentamento da resposta transitória, são mapeadas em circunferências concêntricas à origem no plano- z ;
- linhas horizontais no plano- s com ω_d constante, que estão relacionadas com o tempo de pico da resposta transitória, são mapeadas em linhas radiais no plano- z ;
- linhas radiais no plano- s com ζ constante, que estão relacionadas com o sobresinal da resposta transitória, são ma-

[Homepage](#)[Página de Rosto](#)[Página 3 de 34](#)[Voltar](#)[Full Screen](#)[Fechar](#)[Desistir](#)



peadas em espirais no plano- z .

O comando `zgrid` do MATLAB.

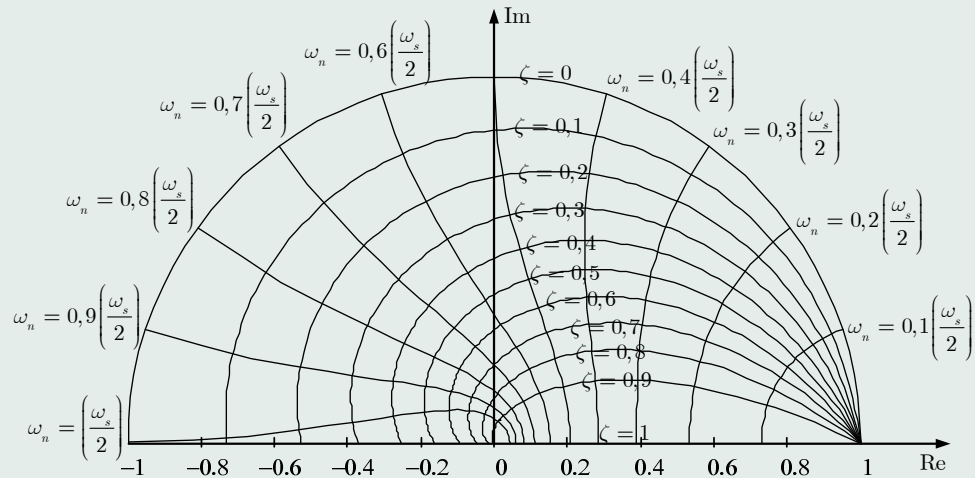


Figure 1: Linhas no plano- z com ζ constante e ω_n constante.

A relação entre a posição de polos dominantes de malha fechada de um sistema no domínio- z e a resposta transitória está esquematizada na Figura 2.

Do plano- s para o...

Análise de Estabilidade

Análise de Erro em...

Lugar das Raízes

Resposta em...

Homepage

Página de Rosto



Página 4 de 34

Voltar

Full Screen

Fechar

Desistir



Do plano-s para o...

Análise de Estabilidade

Análise de Erro em...

Lugar das Raízes

Resposta em...

Homepage

Página de Rosto



Página 5 de 34

Voltar

Full Screen

Fechar

Desistir

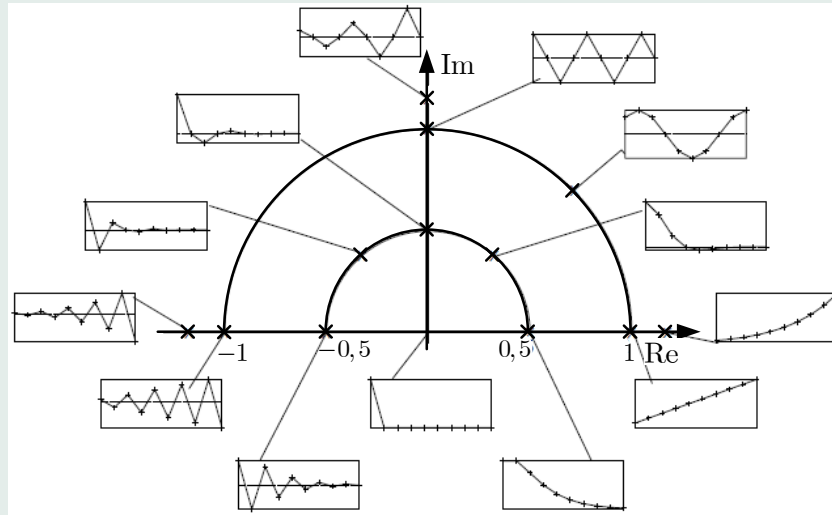


Figure 2: Linhas no plano- z com ζ constante e ω_n constante.



🔗 **Exemplo 1:** Indique no plano- s e no plano- z a região aceitável para localização dos polos de malha fechada de um sistema com $\zeta \geq 0,5$, $\omega_n \geq 1$ e $\zeta\omega_n \geq 0,5$. Considere período de amostragem $T_s = 0,2$.

Solução: como

$$z = e^{sT_s} = e^{-\zeta\omega_n T_s} e^{j\omega_d T_s}$$

tem-se que

$$|z| = e^{-\zeta\omega_n T_s}$$

$$\zeta\omega_n \geq 0,5 \Rightarrow |z| \leq e^{-0,5 \cdot 0,2} = 0,90484$$

ou seja, $\zeta\omega_n \geq 0,5$ corresponde no plano- z ao interior do círculo de raio $\approx 0,9$.

A linha $\zeta = 0,5$ é mapeada em um espiral no plano- z . Tal espiral pode ser visualizada com o comando `zgrid` do MATLAB.

`zgrid`: Note, no entanto, a faixa 0 a $\omega_s/2$ é normalizada entre 0 e π . Para ω_n , deve-se entrar, com o argumento $2\pi\omega_n/\omega_s = \omega_n \cdot T_s$

Do plano- s para o...

Análise de Estabilidade

Análise de Erro em...

Lugar das Raízes

Resposta em...

Homepage

Página de Rosto

⏪

⏩

◀

▶

Página 6 de 34

Voltar

Full Screen

Fechar

Desistir



em `zgrid`. A Figura 3 ilustra o mapeamento. O seguinte *script* foi utilizado para definir a região no plano- z .

```
clear all; close all; clc;
zeta = 0.5; w_n = 1; T_s = 0.2;
x = linspace(-exp(-.1), exp(-.1), 1e5);
plot(x, sqrt(exp(-.1)^2 - x.^2), 'k—');
hold on;
plot(x, -sqrt(exp(-.1)^2 - x.^2), 'k—');
zgrid(zeta, w_n*T_s);
axis('square');
```

[Homepage](#)[Página de Rosto](#)[Página 7 de 34](#)[Voltar](#)[Full Screen](#)[Fechar](#)[Desistir](#)



Do plano- s para o...

Análise de Estabilidade

Análise de Erro em...

Lugar das Raízes

Resposta em...

Homepage

Página de Rosto



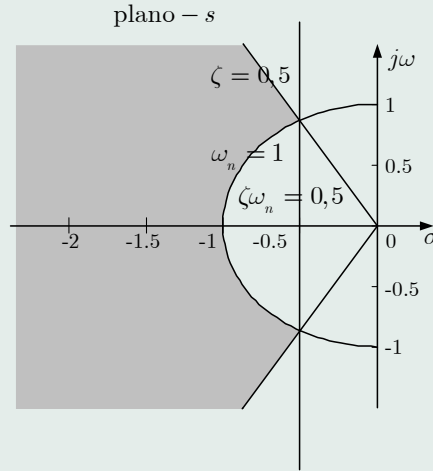
Página 8 de 34

Voltar

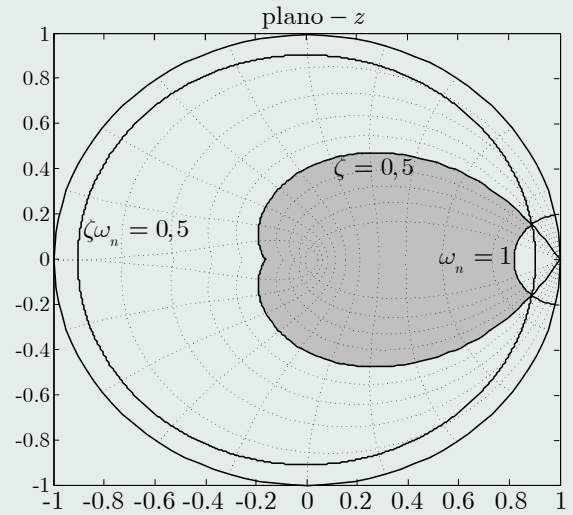
Full Screen

Fechar

Desistir



(a)



(b)

Figure 3: Mapeamento $s \rightarrow z$ do Exemplo ??.



2. Análise de Estabilidade

Considere o sistema em malha fechada representado na Figura 4.

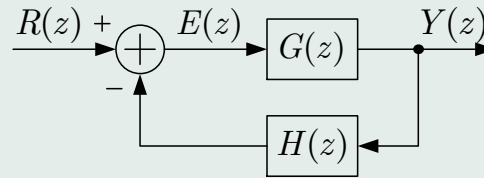


Figure 4: Sistema em tempo discreto em malha fechada.

A função de transferência de malha aberta é dada por

$$F(z) = G(z)H(z) \quad (1)$$

A função de transferência de malha fechada é escrita como

$$\frac{Y(z)}{R(z)} = \frac{G(z)}{1 + F(z)} = \frac{G(z)}{1 + G(z)H(z)}. \quad (2)$$

A estabilidade deste sistema é determinada pela localização dos



polos de malha fechada, obtidos pela solução da equação característica:

$$P(z) = 1 + F(z) = 0. \quad (3)$$

O sistema é absolutamente estável se os polos de malha fechada possuírem raio menor do que a unidade.

2.1. Critério de Jury

Vide Material.

Homepage

Página de Rosto



Página 10 de 34

Voltar

Full Screen

Fechar

Desistir



3. Análise de Erro em Regime Estacionário

Sistemas de controle em tempo discreto podem ser classificados de acordo com o número de polos de malha aberta em $z = 1$. Suponha que um sistema possua a seguinte função de transferência em malha aberta

$$F(z) = \frac{1}{(z-1)^N} \frac{B(z)}{A(z)}, \quad (4)$$

onde $\frac{B(z)}{A(z)}$ não possui nem polo nem zero em $z = 1$. Tal sistema é classificado como tipo 0 se $N = 0$, tipo 1 se $N = 1$, tipo 2 se $N = 2$, e assim por diante. O tipo de sistema está relacionado com o erro em regime estacionário para uma dada entrada.

Considere novamente o sistema em tempo discreto da Figura 4. O sinal de erro é dado por

$$E(z) = R(z) - F(z)E(z). \quad (5)$$

[Do plano-s para o...](#)[Análise de Estabilidade](#)[Análise de Erro em...](#)[Lugar das Raízes](#)[Resposta em...](#)[Homepage](#)[Página de Rosto](#)[«](#) [»](#)[◀](#) [▶](#)[Página 11 de 34](#)[Voltar](#)[Full Screen](#)[Fechar](#)[Desistir](#)



Logo,

$$E(z) = \frac{1}{1 + F(z)} R(z). \quad (6)$$

Aplicando o teorema do valor final, tem-se

$$e_{ss} = \lim_{n \rightarrow \infty} e(nT_s) = \lim_{z \rightarrow 1} \left[(1 - z^{-1}) \frac{1}{1 + F(z)} R(z) \right]. \quad (7)$$

O erro estático de posição é definido em relação à entrada de grau unitário $R(z) = \frac{1}{1 - z^{-1}}$, ou seja

$$e_{ss} = \lim_{z \rightarrow 1} \left[(1 - z^{-1}) \frac{1}{1 + F(z)} \frac{1}{1 - z^{-1}} \right] = \lim_{z \rightarrow 1} \frac{1}{1 + F(z)}. \quad (8)$$

Define-se $K_p = \lim_{z \rightarrow 1} F(z) = \lim_{z \rightarrow 1} \frac{1}{(z-1)^N} \frac{B(z)}{A(z)}$ como a constante de erro estático de posição. Logo

$$e_{ss} = \frac{1}{1 + K_p}. \quad (9)$$

[Homepage](#)[Página de Rosto](#)[◀](#)[▶](#)[◀](#)[▶](#)[Página 12 de 34](#)[Voltar](#)[Full Screen](#)[Fechar](#)[Desistir](#)



Note que erro estático de posição se torna zero se $K_p \rightarrow \infty$, o que requer que $F(z)$ possua um polo (ou mais) em $z = 1$ (seja pelo menos tipo 1).

Para entrada rampa unitária, $R(z) = \frac{T_s z^{-1}}{(1-z^{-1})^2}$, o erro estático de velocidade é definido tal que

$$e_{ss} = \lim_{z \rightarrow 1} \left[(1 - z^{-1}) \frac{1}{1 + F(z)} \frac{T_s z^{-1}}{(1 - z^{-1})^2} \right] = \lim_{z \rightarrow 1} \frac{T_s}{(1 - z^{-1})F(z)}. \quad (10)$$

Define-se $K_v = \lim_{z \rightarrow 1} \frac{(1-z^{-1})F(z)}{T_s} = \lim_{z \rightarrow 1} \frac{(1-z^{-1}) \frac{1}{(z-1)^N} \frac{B(z)}{A(z)}}{T_s}$ como a constante de erro estático de velocidade. Logo

$$e_{ss} = \frac{1}{K_v}. \quad (11)$$

Note que erro estático de velocidade se torna zero se $K_v \rightarrow \infty$, o que requer que $F(z)$ possua pelo menos dois polos em $z = 1$ (seja pelo menos tipo 2).

Do plano-s para o...

Análise de Estabilidade

Análise de Erro em...

Lugar das Raízes

Resposta em...

Homepage

Página de Rosto



Página 13 de 34

Voltar

Full Screen

Fechar

Desistir



O erro estático de aceleração é definido em função da entrada parábola unitária $R(z) = \frac{T_s^2(1+z^{-1})z^{-1}}{2(1-z^{-1})^3}$, de maneira que

$$e_{ss} = \frac{1}{K_a}. \quad (12)$$

$$\text{com } K_a = \lim_{z \rightarrow 1} \frac{(1-z^{-1})^2 F(z)}{T_s^2} = \lim_{z \rightarrow 1} \frac{(1-z^{-1})^2 \frac{1}{(z-1)^N} \frac{B(z)}{A(z)}}{T_s^2}$$

Note que o erro estático de aceleração se torna zero se $K_a \rightarrow \infty$, o que requer que $F(z)$ possua pelo menos três polos em $z = 1$ (seja pelo menos tipo 3). A Tabela 1, similar à obtida para sistemas de tempo contínuo, relaciona o tipo de sistema com o erro em regime estacionário.

Table 1: Sistema de controle com realimentação unitária.

	e_{ss} Posição	e_{ss} Velocidade	e_{ss} Aceleração
Tipo 0	$\frac{1}{1+K_p}$	∞	∞
Tipo 1	0	$\frac{1}{K_v}$	∞
Tipo 2	0	0	$\frac{1}{K_a}$

Do plano-s para o...

Análise de Estabilidade

Análise de Erro em...

Lugar das Raízes

Resposta em...

Homepage

Página de Rosto

◀

▶

◀

▶

Página 14 de 34

Voltar

Full Screen

Fechar

Desistir



4. Lugar das Raízes

Em sistemas de tempo discreto, a equação característica pode ser escrita como:

$$1 + F(z) = 0 \Rightarrow F(z) = -1. \quad (13)$$

Verifica-se que no caso de sistemas de tempo discreto, as condições necessárias para que um dado ponto z esteja sobre o lugar das raízes (seja um polo de malha fechada) é semelhante ao caso de um ponto s genérico em sistemas contínuos, isto é, as seguintes condições precisam ser satisfeitas:

$$\text{Condição de módulo: } |F(z)| = 1 \quad (14)$$

$$\text{Condição angular: } \angle F(z) = \pm 180^\circ(2k+1), \quad k = 0, 1, 2, \dots \quad (15)$$

Para construção do lugar das raízes de sistemas discreto utilizando

[Do plano-s para o...](#)[Análise de Estabilidade](#)[Análise de Erro em...](#)[Lugar das Raízes](#)[Resposta em...](#)[Homepage](#)[Página de Rosto](#)[Página 15 de 34](#)[Voltar](#)[Full Screen](#)[Fechar](#)[Desistir](#)



o MATLAB, o comando `rlocus` é utilizado da mesma forma que em sistemas de tempo contínuo.

✎ **Exemplo 2:** (Ogata DCS) Determine a função de transferência de malha aberta ($F(z)$) para o sistema da Figura 5, com $G(s) = 1/(s + 1)$, e trace o gráfico do lugar das raízes utilizando o MATLAB, considerando $T_s = 0,5$ s e $T_s = 1,5$ s.

Solução: Inicialmente, o equivalente discreto de $G(s)$ com o ZOH é obtido como

$$\mathcal{Z} \{ZOH(s)G(s)\} = (1 - z^{-1}) \mathcal{Z} \left\{ \frac{1}{s(s + 1)} \right\}$$

Efetuada expansão em frações parciais e a transformada- z :

$$\mathcal{Z} \{ZOH(s)G(s)\} = (1 - z^{-1}) \mathcal{Z} \left\{ \frac{1}{s} - \frac{1}{(s + 1)} \right\} = (1 - z^{-1}) \left(\frac{z}{z - 1} - \frac{z}{z - e^{-T_s}} \right) = \frac{1 - e^{-T_s}}{z - e^{-T_s}}$$

Como há realimentação unitária, a função de transferência de



malha aberta é dada por

$$F(z) = C(z) \mathcal{Z} \{ZOH(s)G(s)\} = \frac{Kz}{z-1} \frac{1 - e^{-T_s}}{z - e^{-T_s}}$$

Para $T_s = 0,5$, tem-se

$$F(z) = \frac{0,3935Kz}{(z-1)(z-0,6065)}$$

Para $T_s = 1,5$, tem-se

$$F(z) = \frac{0,7769Kz}{(z-1)(z-0,2231)}$$

A Figura 6 apresenta os gráficos do lugar das raízes para os casos considerados no exemplo. O código MATLAB utilizado para gerar a figura é o seguinte:

Do plano-s para o...

Análise de Estabilidade

Análise de Erro em...

Lugar das Raízes

Resposta em...

Homepage

Página de Rosto

◀

▶

◀

▶

Página 17 de 34

Voltar

Full Screen

Fechar

Desistir

[Do plano-s para o...](#)[Análise de Estabilidade](#)[Análise de Erro em...](#)[Lugar das Raízes](#)[Resposta em...](#)[Homepage](#)[Página de Rosto](#)[Página 18 de 34](#)[Voltar](#)[Full Screen](#)[Fechar](#)[Desistir](#)

```
clear all; close all; clc;
s = tf('s'); z = tf('z');
G = 1/(s+1);
C_D = z/(z-1);
Ts = 0.5;
C_D.Ts = Ts;
G_D = c2d(G, Ts, 'zoh');
C_G_D = C_D*G_D;
subplot(121);
rlocus(C_G_D);
axis([-1.5 1.5 -1.5 1.5]);
disp('C_G_D1 = '); zpk(C_G_D)
%%%%%%%%%%%%%%%%%%%%%%%%%%%%%%%%%%%%%%%%%%%%%%%%%%%%%%%%%%%%%%%%%%%%%%%%
Ts = 1.5;
C_D.Ts = Ts;
G_D2 = c2d(G, Ts, 'zoh');
C_G_D2 = C_D*G_D2;
subplot(122);
rlocus(C_G_D2);
axis([-1.5 1.5 -1.5 1.5]);
disp('C_G_D2 = '); zpk(C_G_D2)
```

Particularmente no Exemplo 2 verificou-se que o ganho K crítico para levar o sistema ao limiar de estabilidade se torna-se maior conforme o período de amostragem é reduzido.

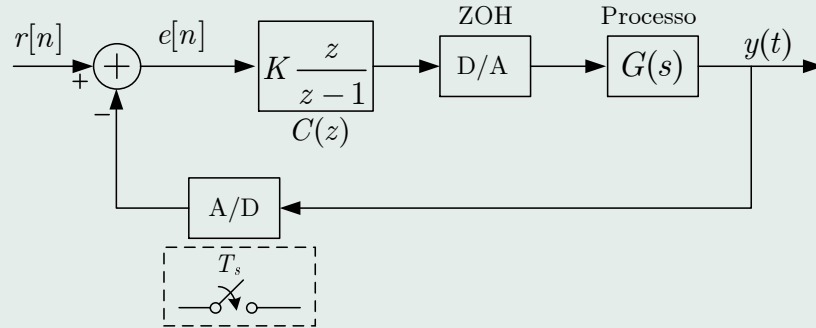


Figure 5: Sistema de controle em tempo discreto do Exemplo 2.

O período de amostragem tem relação direta com a resposta transitória e a estabilidade do sistema. Além de satisfazer os critérios apontados por Nyquist no teorema da amostragem, a escolha de T_s pode ser feita de acordo com as seguintes regras (Bittar):

- Para sistemas subamortecidos T_s deve ser escolhido tal que o sinal seja amostrado pelo menos dez vezes durante um ciclo da senoide amortecida;



Do plano-s para o ...

Análise de Estabilidade

Análise de Erro em ...

Lugar das Raízes

Resposta em ...

Homepage

Página de Rosto



Página 20 de 34

Voltar

Full Screen

Fechar

Desistir

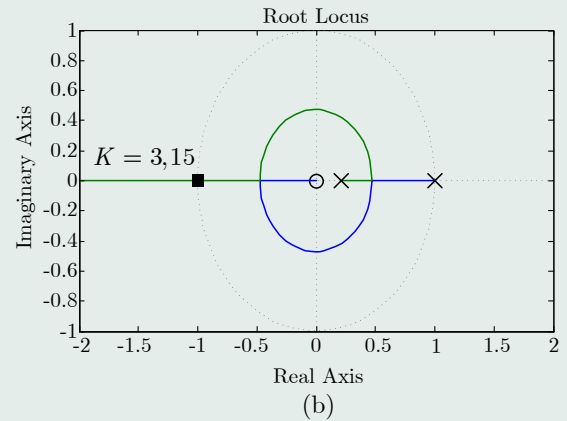
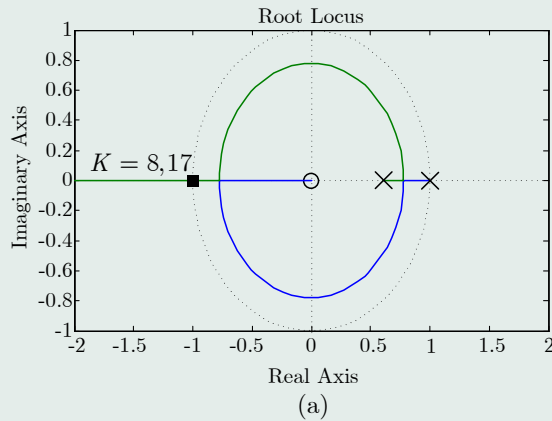


Figure 6: LR do Exemplo 2 para (a) $T_s = 0,5$ e (b) $T_s = 1,5$.



- Para sistemas amortecidos T_s deve ser escolhido tal que o sinal seja amostrado pelo menos dez vezes durante o tempo de subida da resposta ao degrau;

O Exemplo 3 mostra um particular caso da influência de T_s na estabilidade.

✎ Exemplo 3:

Determine a faixa de valores de T_s para que o sistema da Figura 7 seja estável.

Solução: Inicialmente, o equivalente discreto de $G(s)$ com o ZOH. A partir do Exemplo 2, pode-se concluir que

$$G(z) = \mathcal{Z} \{ \text{ZOH}(s)G(s) \} = 10 \frac{1 - e^{-T_s}}{z - e^{-T_s}}$$

A função de transferência de malha fechada é portanto dada por

$$T(z) = \frac{G(z)}{1 + G(z)} = \frac{10(1 - e^{-T_s})}{z - (11e^{-T_s} - 10)}$$



Para o sistema ser estável, $|11e^{-T_s} - 10| < 1$. Resolvendo a inequação, verifica-se que $0 < T_s < 0,2$.

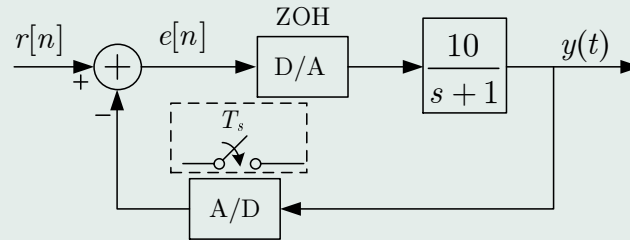


Figure 7: Sistema de controle em tempo discreto do Exemplo 3.

[Homepage](#)[Página de Rosto](#)[Página 22 de 34](#)[Voltar](#)[Full Screen](#)[Fechar](#)[Desistir](#)



5. Resposta em Frequência

Depois de esperar até que as **condições de regime permanente tenham sido alcançadas**, a resposta em frequência de $G(z)$ pode ser calculada substituindo-se $z = e^{j\omega T_s}$. Da mesma forma que em sistemas de tempo contínuo, pode-se mostrar que a resposta em regime estacionário de um sistema LIT discreto para uma entrada $r(nT_s) = A \sin(n\omega T_s)$ é dada por

$$\begin{aligned} y_{ss}(nT_s) &= A |G(e^{j\omega T_s})| \sin(n\omega T_s + \angle G(e^{j\omega T_s})) \\ &= A M \sin(n\omega T_s + \phi) \end{aligned} \quad (16)$$

Exemplo 4:

Encontre a resposta em frequência do sistema definido pela seguinte equação de diferenças

$$x[n] = r[n] + ax[n - 1], \quad 0 < a < 1$$

[Do plano-s para o...](#)[Análise de Estabilidade](#)[Análise de Erro em...](#)[Lugar das Raízes](#)[Resposta em...](#)[Homepage](#)[Página de Rosto](#)[Página 23 de 34](#)[Voltar](#)[Full Screen](#)[Fechar](#)[Desistir](#)



assumindo que o período de amostragem é igual a T_s . Determine a saída em regime estacionário para uma entrada $r(nT_s) = A \sin(n\omega T_s)$

Solução: aplicando a transformada- z , tem-se

$$X(z) = R(z) + az^{-1}X(z).$$

Assim,

$$G(z) = \frac{X(z)}{R(z)} = \frac{1}{1 - az^{-1}}.$$

Substituindo $z = e^{j\omega T_s}$, tem-se

$$G(e^{j\omega T_s}) = \frac{1}{1 - ae^{-j\omega T_s}} = \frac{1}{1 - a \cos(\omega T_s) + ja \sin(\omega T_s)},$$

ou seja,

$$|G(e^{j\omega T_s})| = M = \frac{1}{\sqrt{1 + a^2 - 2a \cos(\omega T_s)}},$$

[Do plano-s para o...](#)[Análise de Estabilidade](#)[Análise de Erro em...](#)[Lugar das Raízes](#)[Resposta em...](#)[Homepage](#)[Página de Rosto](#)[Página 24 de 34](#)[Voltar](#)[Full Screen](#)[Fechar](#)[Desistir](#)



e,

$$\angle G(e^{j\omega T_s}) = \phi = -\tan^{-1} \left(\frac{a \sin \omega T_s}{1 - a \cos \omega T_s} \right).$$

Portanto,

$$x_{ss}(t) = \frac{A}{\sqrt{1 + a^2 - 2a \cos(\omega T_s)}} \sin \left(n\omega T_s - \tan^{-1} \left(\frac{a \sin \omega T_s}{1 - a \cos \omega T_s} \right) \right)$$

O diagrama de Bode de uma função de transferência discreta pode ser obtido no MATLAB utilizando-se o comando `bode`.

Exemplo 5:

Utilizando o MATLAB, plote a resposta em frequência da planta

$$G(s) = \frac{1}{s(s+1)}$$

contínua e discreta com ZOH e período de amostragem $T_s = 0, 2$, $T_s = 1$ e $T_s = 2$ segundos.

Do plano-s para o...

Análise de Estabilidade

Análise de Erro em...

Lugar das Raízes

Resposta em...

Homepage

Página de Rosto

◀

▶

◀

▶

Página 25 de 34

Voltar

Full Screen

Fechar

Desistir



Solução: A Figura 8 apresenta as curvas. O seguinte *script* foi utilizado para gerar a solução.

```
clear all; close all; clc;  
G = tf(1,[1 1 0]);  
G_d1 = c2d(G,0.2,'zoh');  
G_d2 = c2d(G,1,'zoh');  
G_d3 = c2d(G,2,'zoh');  
bode(G,'k',G_d1,'b',G_d2,'r',G_d3,'g');
```

5.1. O Plano-w

- Métodos convencionais de resposta em frequência, que incluem todo o semiplano esquerdo do plano- s , não se aplicam no plano- z ;
- Frequências no plano- z aparecem como $z = e^{j\omega T_s}$, a simplicidade dos gráficos em escala logarítmica seria perdida;
- Solução (+/-): plano- z para plano- w . (ex: diagrama de

[Homepage](#)[Página de Rosto](#)[◀](#)[▶](#)[◀](#)[▶](#)[Página 26 de 34](#)[Voltar](#)[Full Screen](#)[Fechar](#)[Desistir](#)



Do plano-s para o...

Análise de Estabilidade

Análise de Erro em...

Lugar das Raízes

Resposta em...

Homepage

Página de Rosto



Página 27 de 34

Voltar

Full Screen

Fechar

Desistir

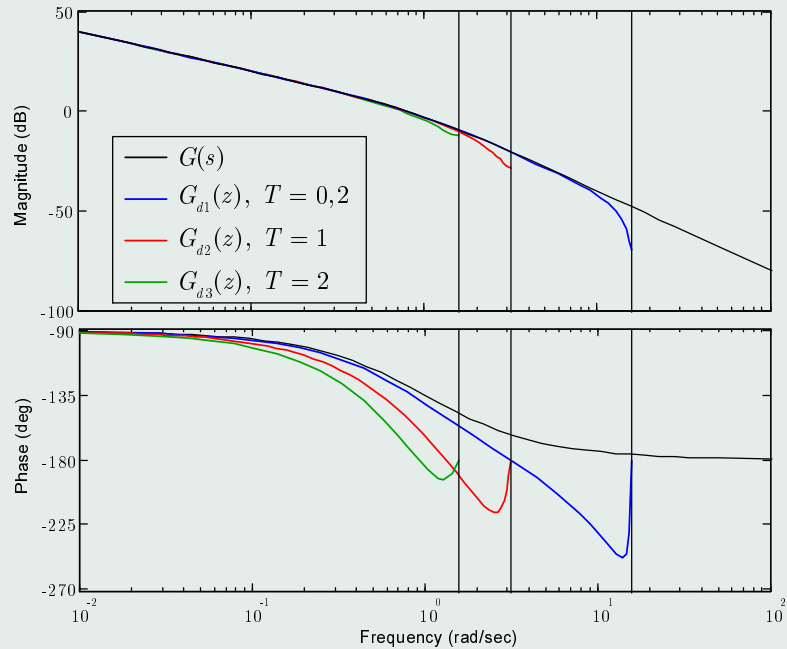


Figure 8: Diagramas de Bode do Exemplo 4.



Bode).

Transformada-w, que também é bilinear, sendo definida como

$$z = \frac{1 + (T_s/2)w}{1 - (T_s/2)w} \quad (17)$$

A relação inversa é dada por

$$w = \frac{2z - 1}{T_s z + 1} \quad (18)$$

A Figura 9 ilustra estes mapeamentos.

- ν é uma frequência fictícia no plano-w.
- faixa de frequências no plano-s de $\omega = -\omega_s/2$ a $\omega = \omega_s/2$ é estendida de $\nu = -\infty$ a $\nu = \infty$ no plano-w;
- A freq. de Nyquist $\omega = \omega_s/2$ é mapeada em $\nu = \infty \Rightarrow$ não pode haver qualquer dinâmica significativa próxima ou acima da freq. de Nyquist.

Do plano-s para o...

Análise de Estabilidade

Análise de Erro em...

Lugar das Raízes

Resposta em...

Homepage

Página de Rosto



Página 28 de 34

Voltar

Full Screen

Fechar

Desistir



Do plano- s para o ...

Análise de Estabilidade

Análise de Erro em ...

Lugar das Raízes

Resposta em ...

Homepage

Página de Rosto



Página 29 de 34

Voltar

Full Screen

Fechar

Desistir

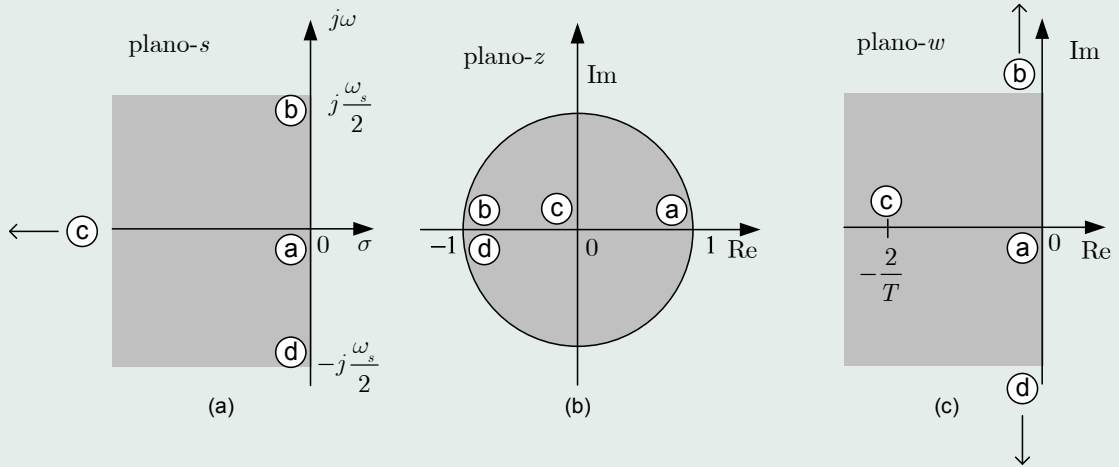


Figure 9: Mapeamentos $s \rightarrow z$ e $z \rightarrow w$.



As frequências ν e ω se relacionam da seguinte forma

$$\begin{aligned} w|_{w=j\nu} &= j\nu = \frac{2}{T_s} \frac{z-1}{z+1} \Big|_{z=e^{j\omega T_s}} = \frac{2}{T_s} \frac{e^{j\omega T_s} - 1}{e^{j\omega T_s} + 1} \\ &= \frac{2}{T_s} \frac{e^{j\omega T_s/2} - e^{-j\omega T_s/2}}{e^{j\omega T_s/2} + e^{-j\omega T_s/2}} = \frac{2}{T_s} j \tan(\omega T_s/2) \quad (19) \end{aligned}$$

Com isso, $G(j\omega)$ pode ser convertida em $G(j\nu)$ fazendo-se $\omega = \frac{2}{T_s} \tan^{-1}(\nu T_s/2)$. Para ωT_s pequeno, $G(s)$ e $G(w)$ se aproximam.

[Homepage](#)[Página de Rosto](#)[Página 30 de 34](#)[Voltar](#)[Full Screen](#)[Fechar](#)[Desistir](#)



✎ **Exemplo 6:** Considere o sistema da Figura 10. Obtenha $G(w)$ e plote o diagrama de Bode em função de ν . Assuma $T_s = 0,2$ s.

Solução:

$$G(z) = (1 - z^{-1}) \mathcal{Z} \left\{ \frac{1}{s(s+1)} \right\} = \frac{0,1813}{z - 0,8187}$$

Utilizando a transformação bilinear de z para w dada por

$$z = \frac{1 + (T_s/2)w}{1 - (T_s/2)w} = \frac{1 + 0,1z}{1 - 0,1z}$$

tem-se que

$$G(w) = \frac{0,1813}{\frac{1+0,1w}{1-0,1w} - 0,8187} = 0,9967 \frac{1 - 0,1w}{w + 0,9967}$$

Observe que os polos e o ganho de malha aberta nos planos s e w são bem parecidos. No entanto, $G(w)$ possui zero em $w = 2/T_s = 10$, embora o sistema contínuo não possua zeros. Com $T_s \rightarrow 0$, o

Do plano-s para o...

Análise de Estabilidade

Análise de Erro em...

Lugar das Raízes

Resposta em...

Homepage

Página de Rosto

◀

▶

◀

▶

Página 31 de 34

Voltar

Full Screen

Fechar

Desistir



zero do plano- w tende a infinito. Outro ponto a observar é que

$$\lim_{w \rightarrow 0} G(w) = \lim_{s \rightarrow 0} G(s)$$

O diagrama de Bode de $G(j\nu)$ em função de ν é ilustrado na Figura 11, em comparação com $G(j\omega)$. O seguinte *script* em MATLAB foi criado:

```
clear all; close all; clc;
s = tf('s'); z = tf('z');
Gs = 1/(s+1);
Ts = 0.2;
Gz = c2d(Gs,Ts,'zoh');
Gw = d2c(Gz,'tustin');
[MGs,PGs,w] = bode(Gs);
[MGw,PGw] = bode(Gw,w); PGw = PGw-360;
figure(1); title('Diagrama de Bode');
subplot(211)
semilogx(w,20*log10(MGs(:))); hold on
semilogx(w,20*log10(MGw(:)),'r—');
ylabel('Amplitude (dB)'); xlabel('Frequência (rad/s)');
legend('$G(s)$', '$G(\{\rm w\})$');
subplot(212)
semilogx(w,PGs(:)); hold on
```

Homepage

Página de Rosto



Página 32 de 34

Voltar

Full Screen

Fechar

Desistir



```
semilogx(w, PGw(:), 'r—');  
ylabel('Fase (graus)'); xlabel('Frequência (rad/s)');  
axis([w(1) w(end) -270 -90])
```

Do plano-s para o...

Análise de Estabilidade

Análise de Erro em...

Lugar das Raízes

Resposta em...

Homepage

Página de Rosto



Página 33 de 34

Voltar

Full Screen

Fechar

Desistir

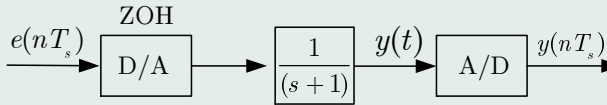


Figure 10: Sistema do Exemplo 6.



Do plano-s para o...

Análise de Estabilidade

Análise de Erro em...

Lugar das Raízes

Resposta em...

Homepage

Página de Rosto



Página 34 de 34

Voltar

Full Screen

Fechar

Desistir

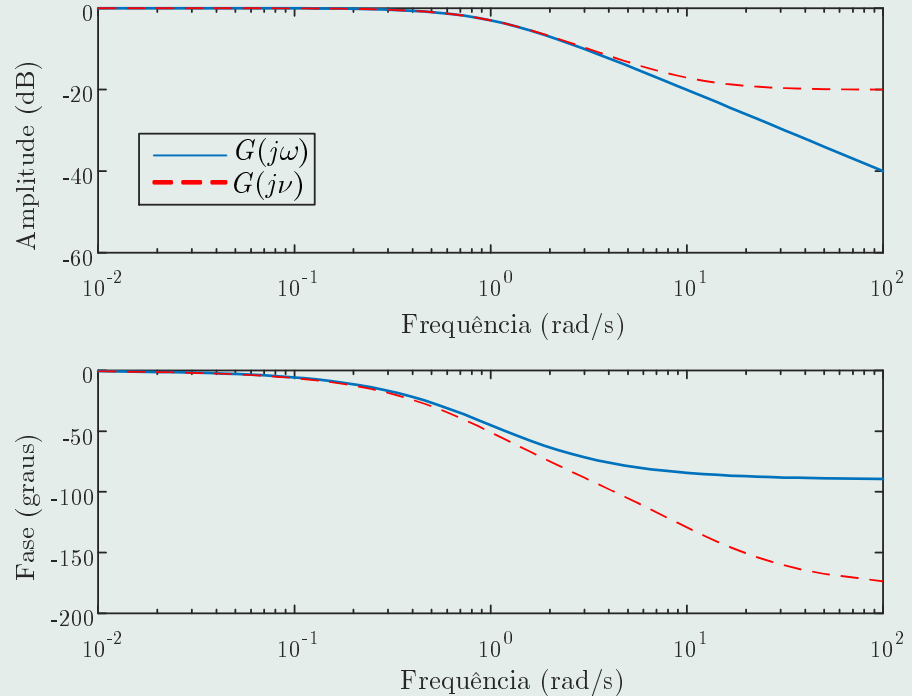


Figure 11: Diagrama de Bode de $G(j\nu)$ e $G(j\omega)$ do Exemplo 6.